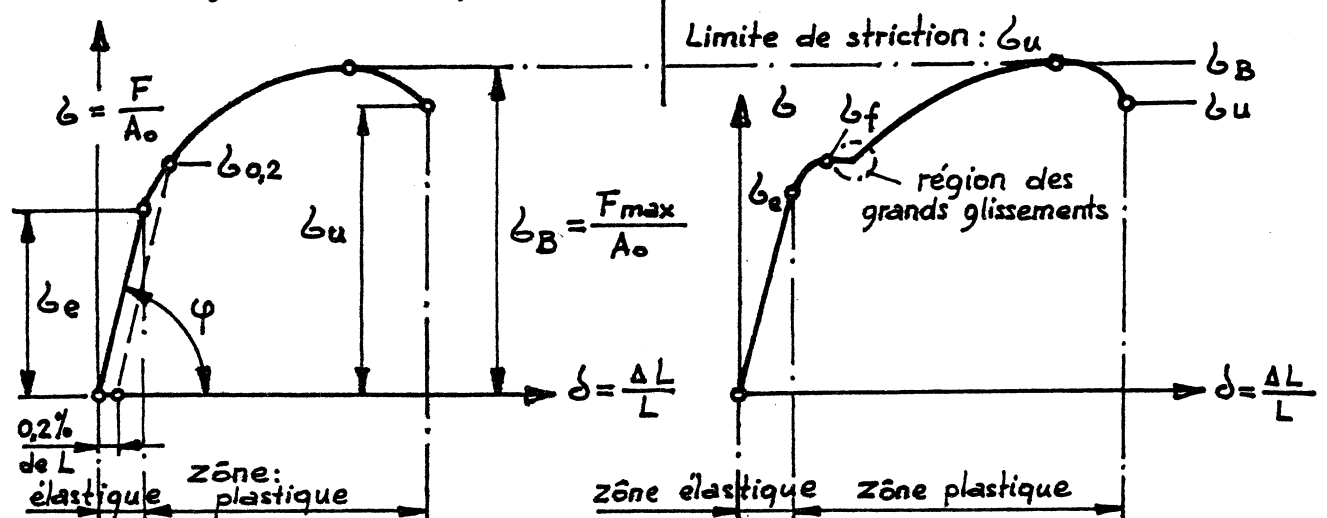


Formulaire de RÉSISTANCE DES MATÉRIAUX.

Diagramme de traction des métaux

Cas général : Aciers traités
Aciers écrouis,
Alu. + alliages Aciers trempés
Cu et alliages - Ti + alliages

Cas particulier : Acier doux,
et normalisé



Symboles et unités selon VSM 10921

- A_0 : Section initiale de la partie calibrée [mm^2] (par simplification prendre A)
- A_u : Section à l'endroit de la rupture [mm^2]
- F : Charge extérieure [daN]
- E : Module de rigidité (élasticité) longitudinale [$\frac{\text{daN}}{\text{mm}^2}$]
- G : Module de rigidité transversale [$\frac{\text{daN}}{\text{mm}^2}$]
- $\delta\%$: Allongement spécifique exprimé en %
- σ : Tension longitudinale [$\frac{\text{daN}}{\text{mm}^2}$]
- σ_B : Tension maximum ou résistance à la traction [$\frac{\text{daN}}{\text{mm}^2}$]
- σ_e : Tension limite élastique [$\frac{\text{daN}}{\text{mm}^2}$]
- σ_f : Tension limite d'écoulement [$\frac{\text{daN}}{\text{mm}^2}$]
- σ_u : Tension à l'instant de la rupture [$\frac{\text{daN}}{\text{mm}^2}$]
- $\sigma_{0,2}$: Tension limite située à 0,2 % de L
- ΔL : Valeur absolue de l'allongement [mm]
- L : Longueur initiale de la pièce [mm]
- τ : Tension transversale ou de glissement [$\frac{\text{daN}}{\text{mm}^2}$]
- T : Charge de l'effort transversal [daN]

- M_f : Moment de flexion [daNmm]
- M_t : Moment de torsion [daNmm]

- δ : delta
- σ : sigma
- τ : tau

autres symboles utilisés

Module de rigidité (élasticité) longitudinale E $\left[\frac{\text{daN}}{\text{mm}^2} \right]$

$E = \frac{\zeta}{\delta} = \frac{\zeta \cdot L}{\Delta L} = \text{pseudo tg } \varphi = \text{constante selon le matériau}$

Valeur absolue de l'allongement ΔL [mm]

$\Delta L = \delta \cdot L$ partant de $E = \frac{\zeta \cdot L}{\Delta L}$ l'allongement $\Delta L = \frac{\zeta \cdot L}{E}$

et $\zeta = \frac{F}{A}$ donc $\Delta L = \frac{F \cdot L}{A \cdot E}$ expression selon la loi de Hooke

L'allongement spécifique δ% $= \frac{\Delta L}{L} \cdot 100$ [%]

Coefficient de contraction latérale δc

Le coefficient de contraction est déterminé avec un rapport "m" entre l'allongement et la contraction, selon Poisson.

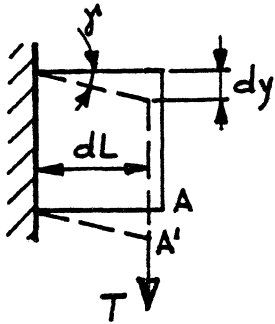
On utilise son inverse $\frac{1}{m} = \mu$, d'où $\delta_c = \frac{\delta}{m} = \mu \cdot \delta$

Coefficient de Poisson pour métaux ferreux : $m = \frac{4}{1}$ à $\frac{10}{3}$

Coefficients de contraction μ: acier=0,3; béton=0,1; liège=0

Tableau de quelques valeurs de E et G à 20°C

Module de rigidité (élastique) longitudinale E $\left[\frac{\text{daN}}{\text{mm}^2} \right]$	Module de rigidité transversale G $\left[\frac{\text{daN}}{\text{mm}^2} \right]$
Acier : 21000	Acier : 8100
Fonte : 7500 à 10000	Fonte : 3200 à 4500
Fonte malléable: 17000	Fonte malléable : 6800
Aluminium : 7200	Aluminium : 2800
Cuivre : 12000	Cuivre : —
Plomb : environ 1800	Bronze pour ressorts: 4500
Bronze : 9000 à 11000	Bronze phosphoreux: 4100
Béton : environ 2000	
Bois : environ 1300	
Maillechort : 12500	Maillechort: 4600
Nickeline : 13000	Nickeline : 4800
Acier à ressorts ; mêmes valeurs que "l'acier".	



Selon l'hypothèse de Navier, les surfaces restent planes et parallèles sous l'effort tranchant T , (Hypothèse admise).

τ : tension de cisaillement ou de glissement

$$\gamma = \frac{dy}{dL} \quad \tau \cdot dL = dy \cdot G \Rightarrow G = \frac{\tau}{\gamma}$$

Relation entre les deux modules de rigidité E , G et le coefficient de Poisson. Déterminé par Bach :

$$G = \frac{m E}{2(m+1)} = \frac{E}{2(1+\mu)}$$

μ : Acier 0,3
Béton 0,1

Résistance des matériaux à la fatigue $\sigma_{\text{admissible}}$

La tension admissible varie selon le cas de charge, classé en fonction du genre de sollicitation. Selon Bach :

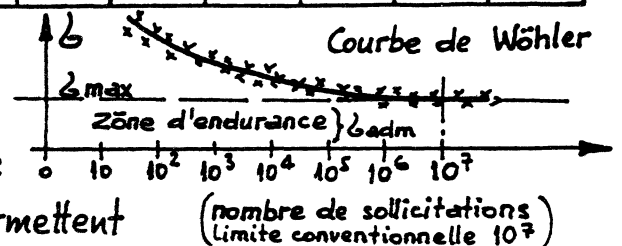
Cas I Statique 		$\sigma_{\text{adm}} = \frac{\sigma_e}{2 \text{ à } 3}$	Charge constante
Cas II Oscillante 		$\sigma_{\text{adm}} = \frac{\sigma_e}{3 \text{ à } 4}$	Charge pulsante ou oscillante ; bielles, engrenages...
Cas III Alternée 		$\sigma_{\text{adm}} = \frac{\sigma_e}{5 \text{ à } 6}$	Charge alternée ; Pistons ou bielles - moteur, arbre tournants, ...

Ces valeurs - assez grossières - permettent une application courante. Il est nécessaire d'avoir recours à des essais pour plus de précision.

Perte en % à la fatigue selon l'état de surface ; rugosité

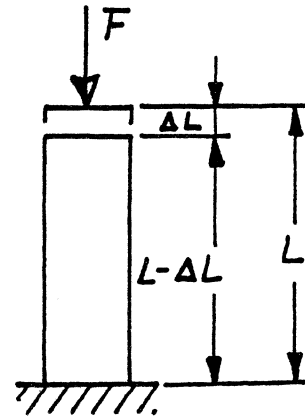
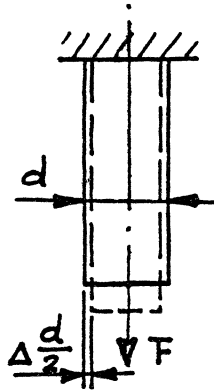
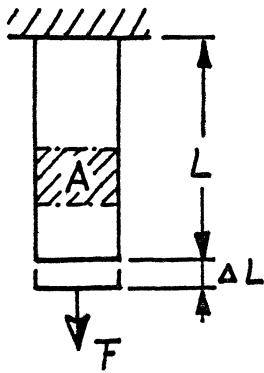
Etat...	▽ Grossier			▽▽ Moyen			▽▽▽ Fin			Très fin		
N/∇	12	11	10	9	8	7	6	5	4	3	2	1
Perte %	30	28	25	22	19	16	13	11	8	6	3	-

La durée de vie à la fatigue est déterminée à partir de sollicitations répétées pour chaque cas de charge. Les résultats permettent de tracer la courbe de la tension de rupture, dite de Wöhler.



(nombre de sollicitations limite conventionnelle 10^7)

Traction - Compression



A : section de la pièce [mm²]

$$A = \frac{F}{\sigma}$$

F : effort de traction ou de compression [daN]

σ : tension = $\frac{\text{charge}}{\text{section}}$ [$\frac{\text{daN}}{\text{mm}^2}$]

$$\sigma = \frac{F}{A}$$

$$F = A \cdot \sigma$$

ΔL : allongement ou raccourcissement $\Delta L = \frac{F \cdot L}{A \cdot E} = \frac{\sigma \cdot L}{E}$ [mm]

Δd : contraction latérale [mm] $\Delta d = \mu \cdot \frac{F \cdot d}{A \cdot E}$ ($\mu = 0,3$ ac.)

Traction et compression engendrées par des causes indirectes

$\Delta \theta$, [°C] : variation de température

α , [°C⁻¹] : coefficient de dilatation linéaire, quelques valeurs:

23,7 · 10⁻⁶ aluminium

13,1 · 10⁻⁶ nickel

18,5 · 10⁻⁶ Laiton

12 · 10⁻⁶ acier

16,2 · 10⁻⁶ cuivre

1 · 10⁻⁶ invar

$$\Delta L = \frac{\sigma \cdot L}{E} = L \cdot \alpha \cdot \Delta \theta \text{ [mm]}$$

allongement; chaleur +
raccourcissement; chaleur -

$$\sigma = \alpha \cdot \Delta \theta \cdot E \text{ [}\frac{\text{daN}}{\text{mm}^2}\text{]}$$

Tension dans les cylindres

Cylindres minces:

$$\sigma_t = \frac{p \cdot d_i}{2e} \quad \text{épaisseur; } e = \frac{p \cdot d_i}{2\sigma}$$

p : pression [bar = $\frac{\text{daN}}{\text{cm}^2}$]

σ_t : σ transversale σ_L : σ longitudinale

$$\sigma_L = \frac{p \cdot d_i}{4e}$$

Cylindres à fortes parois:

formule de Lamé; $e = \frac{d}{2} \left[\sqrt{\frac{\sigma + p_i}{\sigma - p_i}} - 1 \right]$

pression int. > p.ext.

formule de Gashof; $e = \frac{d}{2} \left[\sqrt{\frac{4\sigma + 3p_i}{4\sigma - 5p_i}} - 1 \right]$

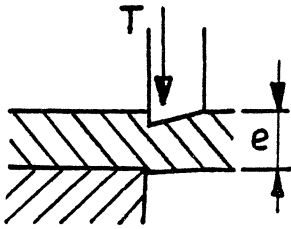
$$\sigma_{\max} = p_i \left[\frac{1,3D^2 + 0,4d^2}{D^2 - d^2} \right]$$

formule de Lamé; $e = \frac{D}{2} \left[1 - \sqrt{\frac{\sigma - 2p_e}{\sigma}} \right]$

$$\sigma_{\max} = p_e \left[\frac{2 \cdot D^2}{D^2 - d^2} \right] \quad p_i < p_e$$

Cisaillement

5



τ : tension de cisaillement $\left[\frac{\text{daN}}{\text{mm}^2}\right]$

généralement $\tau_{\text{adm}} = \frac{4}{5} \tau_{\text{adm}}$ $K = 1,5 \text{ } \square; 1,3 \text{ } \circ; 2 \text{ } \odot$.

T: effort tranchant ou de cisaillement [daN]

A: section sollicitée au cisaillement [mm²]

Résistance au cisaillement $\tau_{\text{admissible}}$

$$\tau_{\text{adm}} = \frac{T \cdot K}{A}$$

$$A = \frac{T \cdot K}{\tau_{\text{adm}}}$$

$$T = \frac{\tau_{\text{adm}} \cdot A}{K}$$

Cas	τ_{ad}
I	$\frac{\tau}{1,5}$
II	$\frac{\tau}{2}$
III	$\frac{\tau}{3}$

Rupture au cisaillement $\tau_r = \tau_B$ de rupture

à la cisaille:

poinçonnage (étampe):

$$T = 1,7 \tau_r \cdot L \cdot e$$

$$T = 1,7 \tau_r \cdot L_p \cdot e$$

L: longueur de coupe

L_p : longueur périphérique de coupe

Flambage

Charge critique selon la formule d'Euler:

$$F_{\text{critique}} = \frac{\pi^2 \cdot E \cdot J_x}{L_0^2} \text{ [daN]}$$

L_0 : longueur L de la pièce avec coefficient, selon le mode de fixation.

Introduire un coefficient de sécurité

S, pour éviter le risque de flambage: Fonte, 8; Fer, acier, 5; Bois, 7 ou 2,5 à 4, charges constantes ou peu variables, grandes mach. 5 à 8, charges variables, grandes machines

10 voir plus, charges fortement variables, chocs, petites machines

La formule d'Euler est valable si l'élançement $\lambda = \frac{L_0}{\rho} \geq 100$

ρ : rayon de giration de surface

$$\rho = \sqrt{\frac{J_x}{A}} \text{ [mm]}$$

$$A = \frac{\pi a b}{4}$$

Moments quadratiques: $x \text{ } \circ \text{ } x$ $J_x = \frac{\pi \cdot d^4}{64}$; $x \text{ } \square \text{ } x$ $J_x = \frac{b h^3}{12}$; $x \text{ } \odot \text{ } x$ $J_x = \frac{\pi a^3 b}{64}$;

$$\tau_{\text{critique}} = \frac{F}{A} = \frac{\pi^2 \cdot E \cdot J_x}{A \cdot L_0^2} = \frac{\pi^2 \cdot E}{\lambda^2}$$

$$\tau_{\text{critique}} < \tau_{\text{élastique}} \text{ [daN/mm}^2\text{]}$$

Formules construites pour éviter le flambage: (barre pleine)

$d = 1,7 \sqrt[4]{\frac{F \cdot S \cdot L^2}{E}}$ Bout Libre $L_0 = 2L$	$d = 1,2 \sqrt[4]{\frac{F \cdot S \cdot L^2}{E}}$ $L_0 = L$	$d = 1,02 \sqrt[4]{\frac{F \cdot S \cdot L^2}{E}}$ $L_0 = \frac{L\sqrt{2}}{2}$	$d = 0,85 \sqrt[4]{\frac{F \cdot S \cdot L^2}{E}}$ $L_0 = \frac{L}{2}$	 L: longueur de la pièce x w w x: section dangereuse
$L < 12d$	$L < 24d$	$L < 33d$	$L < 48d$	pour acier, sans sécurité

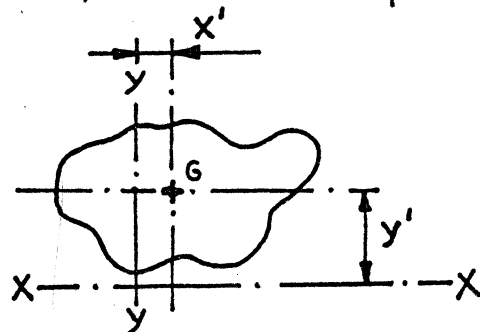
Centre de gravité G

Le centre de gravité G, d'une surface est déterminé par le moment statique M_s d'une surface et un axe connu, situé dans son plan.

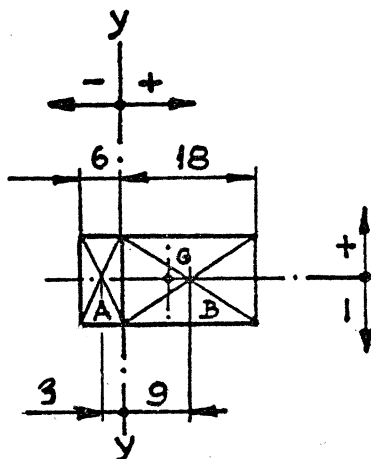
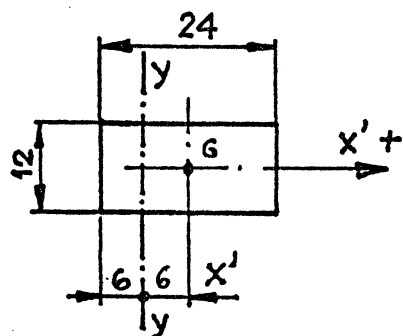
$$M_s = \sum (dA \cdot y) \text{ [mm}^3\text{]}$$

dA : élément de surface

y : axe connu situé dans le plan ou $x \div x$.



Exemples:



y' située sur $X \div X$ connu

$$\text{Surface A} = 6 \cdot 12$$

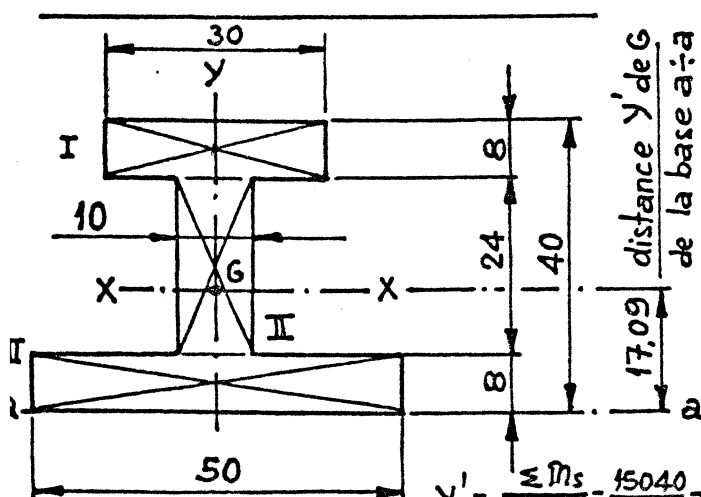
$$\text{Surface B} = 18 \cdot 12$$

Position des centres de gravité : Surface A, de $y \div y = -3$
Surface B, de $y \div y = +9$

$$M_s (y \div y) = 18 \cdot 12 \cdot 9 - 6 \cdot 12 \cdot 3 = 1728 \text{ [mm}^3\text{]}$$

$$A' = 24 \cdot 12 = 288 \text{ [mm}^2\text{]} \\ \text{rectangle A+B}$$

$$\text{distance } y \div y \text{ à } X' = \frac{M_s (y \div y)}{A'} = \frac{1728}{288} = 6 \text{ [mm]} \text{ donne la position de G.}$$



$$y' = \frac{\sum M_s}{\sum A} = \frac{15040}{880} = 17.09$$

Marche à suivre :

- découper la figure en plusieurs surfaces, dont les centres G sont connus
- calculer la Σ de ces surfaces
- déterminer le M_s de chaque surface
- puis la somme des M_s de la figure.

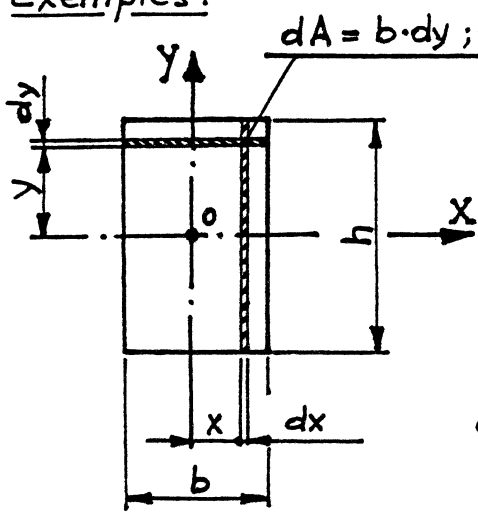
	Surfaces de la figure $b \cdot h$ [mm ²]	Distance y ($a \div a$ à G de chaque figure) [mm]	Moment statique $b \cdot h \cdot y$ [mm ³]
N°			
I	$30 \cdot 8 = 240$	36	8640
II	$10 \cdot 24 = 240$	20	4800
III	$50 \cdot 8 = 400$	4	1600
	Somme ; 880 [mm ²]	—	$\Sigma ; 15040$ [mm ³]

Moments quadratiques J (moments d'inertie)

- axial, x ou y : $J_x = \int_0^A dA \cdot y^2$, $J_y = \int_0^A dA \cdot x^2$

- polaire, : $J_o = J_x + J_y$, $J_o = \int_0^A dA \cdot \rho^2$ [mm⁴]

Exemples :



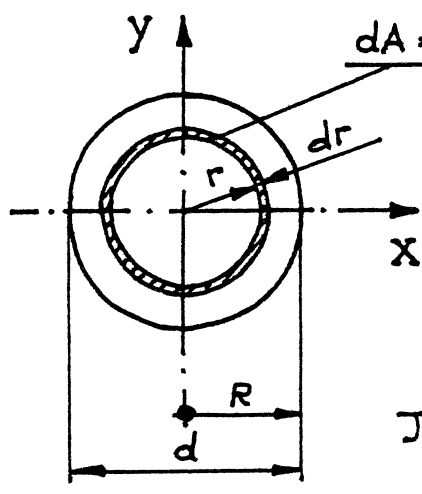
$dA = b \cdot dy$; élément de surface

$$J_x = \int_{-\frac{h}{2}}^{+\frac{h}{2}} dA \cdot y^2 = b \int_{-\frac{h}{2}}^{+\frac{h}{2}} dy \cdot y^2$$

$$J_x = b \left| \frac{y^3}{3} \right|_{-\frac{h}{2}}^{+\frac{h}{2}} = \frac{b \cdot h^3}{3 \cdot 2^3} - \left(-\frac{b \cdot h^3}{3 \cdot 2^3} \right)$$

d'où $J_x = \frac{b \cdot h^3}{24} + \frac{b \cdot h^3}{24} = \frac{b \cdot h^3}{12}$ et $J_y = \frac{h \cdot b^3}{12}$

$J_o = J_x + J_y = \frac{b \cdot h^3}{12} + \frac{h \cdot b^3}{12} = \frac{b \cdot h}{12} (b^2 + h^2)$ [mm⁴]

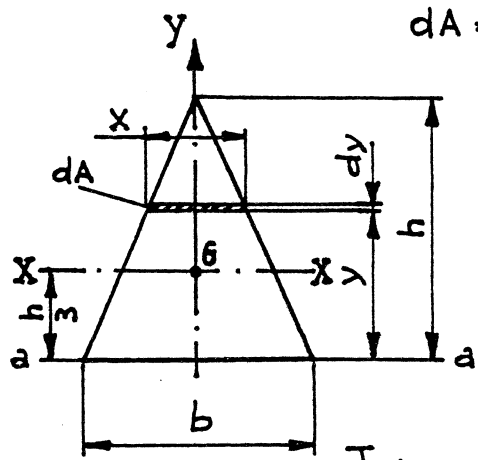


$dA = 2\pi \cdot r \cdot dr$; élément de surface d'un cercle de rayon r.

$$J_o = \int_0^R dA \cdot r^2 = 2\pi \int_0^R dr \cdot r^3 = 2\pi \left| \frac{r^4}{4} \right|_0^R$$

$$J_o = \frac{2\pi \cdot r^4}{4} = \frac{\pi \cdot d^4}{32}$$
 [mm⁴]

$J_o = J_x + J_y$, $J_x = J_y$ d'où $J_x(y) = \frac{J_o}{2} = \frac{\pi \cdot d^4}{64}$ [mm⁴]



$dA = x \cdot dy$; élément de surface

a ÷ a = base du triangle

x ÷ x = axe passant par le centre G

$J_{a \div a}$, avec $x = \frac{b}{h}(h-y)$ de la similitude du triangle ou $\frac{x}{b} = \frac{h-y}{h}$. Pour x ÷ x, $y = \frac{h}{3}$

$$J_{a \div a} = \int_0^A y^2 dA = \int_0^h \frac{b}{h}(h-y) \cdot y^2 = \int_0^h \frac{bh-by}{h} \cdot y^2$$

$$J_{a \div a} = \int_0^h by^2 - \frac{by^3}{h} = b \int_0^h y^2 - \frac{b}{h} \int_0^h y^3 = b \left| \frac{y^3}{3} \right|_0^h - \frac{b}{h} \left| \frac{y^4}{4} \right|_0^h$$

$J_{a \div a} = \frac{bh^3}{3} - \frac{bh^4}{h \cdot 4} = \frac{bh^3}{12} (4-3) = \frac{bh^3}{12}$ $\Rightarrow J_{x \div x} = J_{a \div a} - y^2 \cdot \frac{bh}{2} = \frac{bh^3}{36}$ [mm⁴]

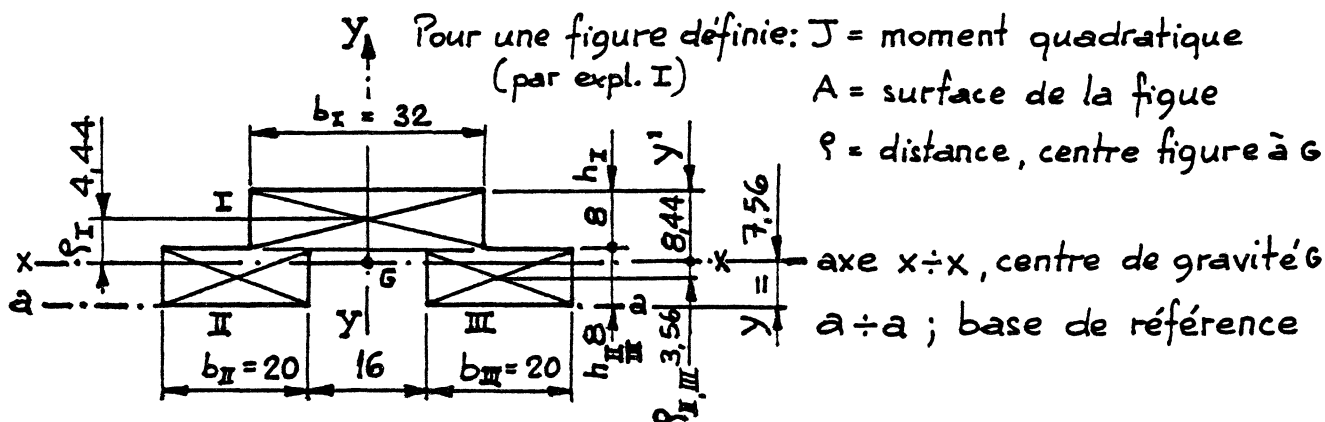
Exemple de calcul d'un moment quadratique

8

1^{er} procédé: avec $J_x = \Sigma [J] + \Sigma [A \cdot \rho^2]$

$$J = \frac{bh^3}{12}$$

$$A = b \cdot h$$



$$J_{I_x} = J_I + A \cdot \rho_I^2 = \frac{b_I h_I^3}{12} + b_I \cdot h_I \cdot \rho_I^2 = \frac{32 \cdot 8^3}{12} + 32 \cdot 8 \cdot 4,44^2 = 6412,01$$

$$J_{II_x} = J_{II} + A \cdot \rho_{II}^2 = \frac{b_{II} h_{II}^3}{12} + b_{II} \cdot h_{II} \cdot \rho_{II}^2 = \frac{20 \cdot 8^3}{12} + 20 \cdot 8 \cdot 3,56^2 = 2881,11$$

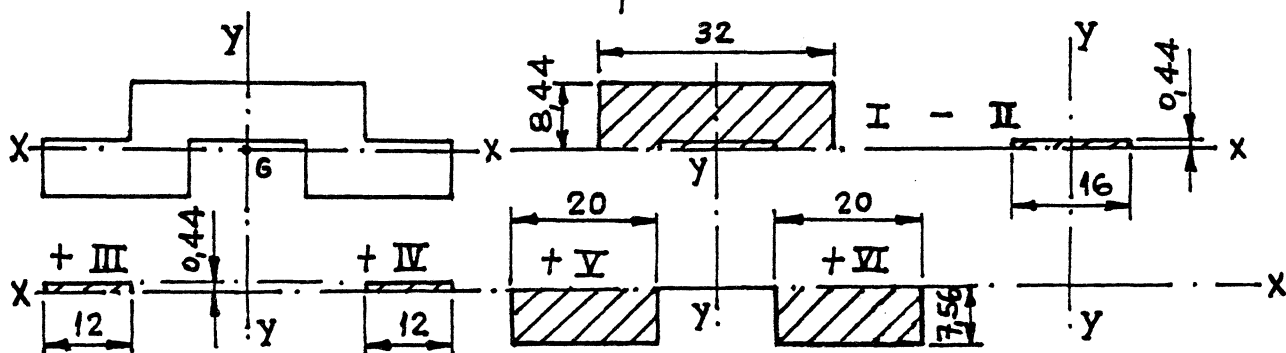
$$J_{III_x} = J_{II_x}$$

Moment quadratique, total,
de la pièce = ΣJ_x [mm⁴]

$$J_{III_x} = 2881,11$$

$$\Sigma J_x = 12174,23$$

2^{ème} procédé: en appliquant $\frac{bh^3}{3}$ aux surfaces judicieusement choisies et délimitées par l'axe x÷x.



$$J_x = \Sigma [J] \text{ par rapport à la base de l'axe } x \div x, \quad J = \frac{bh^3}{3}$$

$$J_I = \frac{32 \cdot 8,44^3}{3} = 6412,92$$

$$J_{II} = \frac{16 \cdot 0,44^3}{3} = \dots 0,45$$

$$J_{III} = \frac{12 \cdot 0,44^3}{3} = \dots 0,34$$

$$J_{IV} = \frac{12 \cdot 0,44^3}{3} = \dots 0,34$$

$$J_V = \frac{20 \cdot 7,56^3}{3} = 2880,54$$

$$J_{VI} = \frac{20 \cdot 7,56^3}{3} = 2880,54$$

$$J_x = J_I - J_{II} + J_{III} + J_{IV} + J_V + J_{VI}$$

$$\Sigma J_I, J_{III}, J_{IV}, J_V, J_{VI} = 12174,68$$

$$J_{II} = 0,45$$

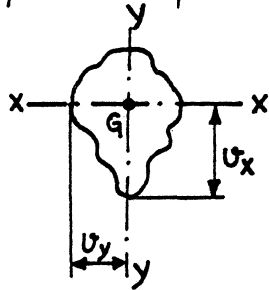
$$J_x = 12174,68 - 0,45 = 12174,23$$

$$[\text{mm}^4]$$

Module de résistance à la flexion W_x [mm³]

9

Le module de résistance à la flexion d'une surface est le rapport du moment quadratique axial J_x ou J_y à la distance u qui sépare l'axe x ou y , passant par le centre de gravité, de la fibre la plus éloignée située sur le pourtour de la dite surface.



$$W_x = \frac{J_x}{u_x}$$

$$W_y = \frac{J_y}{u_y}$$

Exemples:

rectangle; $W_x = \frac{J_x}{u_x} = \frac{\frac{bh^3}{12}}{\frac{h}{2}} = \frac{bh^2}{6}$

cercle; $W_x = \frac{\frac{\pi \cdot d^4}{64}}{\frac{d}{2}} = \frac{\pi \cdot d^3}{32} \approx 0,1 d^3$

Module de résistance à la torsion W_o

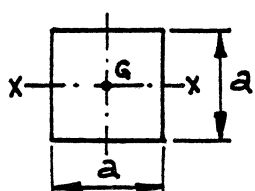
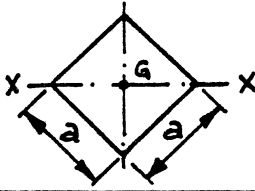
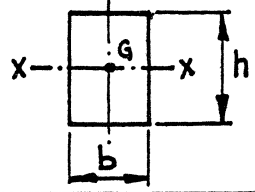
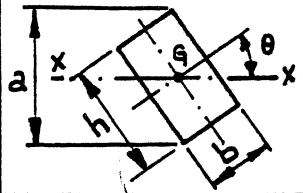
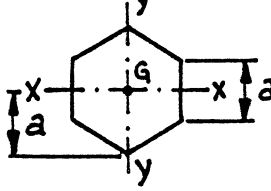
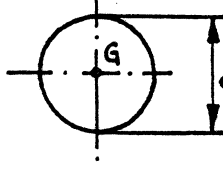
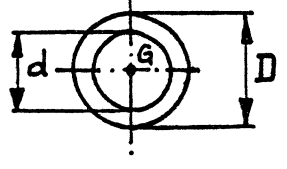
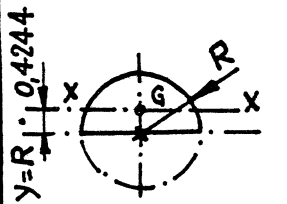
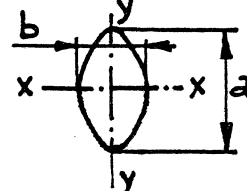
Dans les problèmes à la torsion il est l'équivalent du module de résistance à la flexion. Le module de résistance à la torsion est le rapport du moment quadratique polaire J_o à la distance u séparant le pôle de la fibre la plus éloignée.

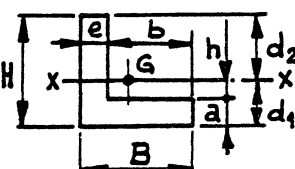
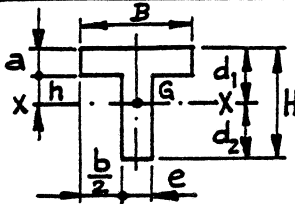
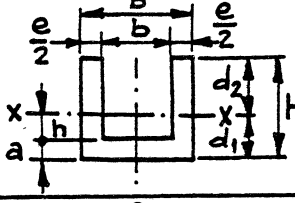
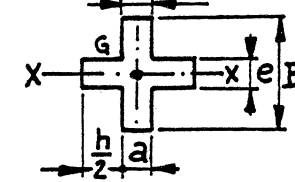
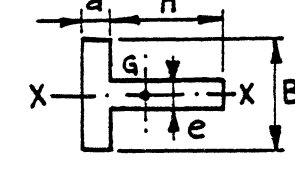
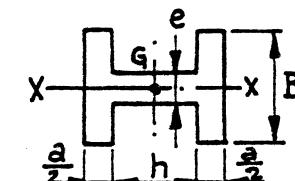
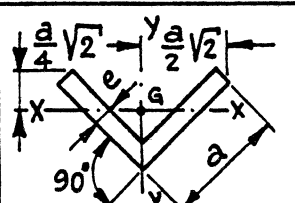
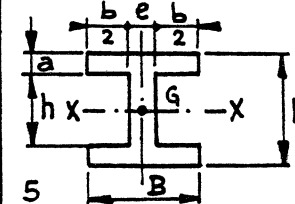
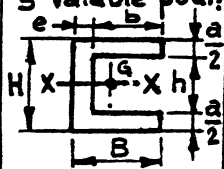
Exemple; module de résistance à la torsion du cercle:

$$J_o = J_x + J_y = \frac{\pi \cdot d^4}{64} + \frac{\pi \cdot d^4}{64} = \frac{\pi \cdot d^4}{32} \quad u = \frac{d}{2} \text{ rayon du cercle}$$

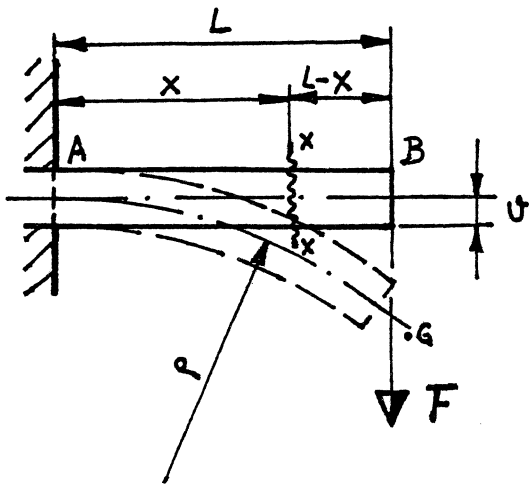
$$W_o = \frac{\pi \cdot d^4}{32} \cdot \frac{2}{d} = \frac{\pi \cdot d^3}{16} \text{ pour simplifier, on prend parfois } W_o \approx 0,2 d^3$$

Section ou profil de la pièce	Moment quadr. J_x	Module résist. W_x	Moment quadr. J_o	Module résist. W_o
	$\frac{bh^3}{36}$	$\frac{bh^2}{24}$	$\frac{bh}{144} (3b^2 + 4h^2)$	$\frac{bh(3b^2 + 4h^2)}{96\sqrt{2b^2 + 2c^2 - a^2}}$
	$\frac{b^3 h}{48}$	$\frac{b^2 h}{24}$	$\frac{bh(3b^2 + 4h^2)}{144}$	$\frac{b(3b^2 + 4h^2)}{96}$
	$\frac{bh^3}{4}$	$\frac{bh^2}{4}$		
	$\frac{bh^3}{12}$	$\frac{bh^2}{12}$		

Section	J_x	W_x	J_o	W_o
	$\frac{a^4}{12}$	$\frac{a^3}{6}$	$\frac{a^4}{6}$	$0,235 a^3$
	$\frac{a^4}{12}$	$0,118 a^3$	$\frac{a^4}{6}$	$0,235 a^3$
	$\frac{bh^3}{12}$	$\frac{bh^2}{6}$	$\frac{bh}{12} (b^2+h^2)$	$\frac{bh}{6} \sqrt{b^2+h^2}$
	$\frac{bh (h^2 \cos^2 \theta + b^2 \sin^2 \theta)}{12}$	$\frac{bh (h^2 \cos^2 \theta + b^2 \sin^2 \theta)}{6 (\cos \theta + \sin \theta)}$	$\frac{bh (b^2+h^2)}{12}$	$\frac{bh}{6} \sqrt{b^2+h^2}$
	$5 a^4 \frac{\sqrt{3}}{16}$ $J_x = J_y$	$W_x = 5 a^3 \frac{\sqrt{3}}{16}$ $W_y = \frac{5}{8} a^3$	$5 a^4 \frac{\sqrt{3}}{8}$	$5 a^3 \frac{\sqrt{3}}{8}$
	$\frac{\pi d^4}{64}$	$\frac{\pi d^3}{32}$	$\frac{\pi d^4}{32}$	$\frac{\pi d^3}{16}$
	$\frac{\pi}{64} (D^4 - d^4)$	$\frac{\pi}{32} \left(\frac{D^4 - d^4}{D} \right)$	$\frac{\pi}{32} (D^4 - d^4)$	$\frac{\pi}{16} \left(\frac{D^4 - d^4}{D} \right)$
	$0,1098 R^4$	$0,1908 R^3$	$0,51 R^4$	$0,4695 R^3$
	$J_x = \frac{\pi a^3 b}{64}$ $J_y = \frac{\pi a b^3}{64}$	$W_x = \frac{\pi}{32} a^2 b$ $W_y = \frac{\pi}{32} a b^2$	$\frac{\pi a b}{64} (a^2 + b^2)$	$\frac{\pi}{32} (a^2 + b^2)$

Section	J_x	W_x	J_o	W_o
	$\frac{Bd_1^3 - bh^3 + ed_2^3}{3}$	$\frac{J_x}{d_2}$	$J_x + J_y$	
	$\frac{Bd_1^3 - bh^3 + ed_2^3}{3}$	$\frac{J_x}{d_2}$	$J_x + J_y$	
	$\frac{Bd_1^3 - bh^3 + ed_2^3}{3}$	$\frac{J_x}{d_2}$	$J_x + J_y$	
	$\frac{aB^3 + he^3}{12}$	$\frac{aB^3 + he^3}{6B}$	$\frac{aB^3 + he^3 + B(a+h)^3 - (B-e)h^3}{12}$	$\frac{2 J_o}{\sqrt{B^2 + (a+h)^2}}$
	$\frac{aB^3 + he^3}{12}$	$\frac{aB^3 + he^3}{6B}$	$\frac{aB^3 + he^3 + B(a+h)^3 - (a+h)^3 - (B-e)h^3}{12}$	$\frac{2 J_o}{\sqrt{B^2 + (a+h)^2}}$
	$\frac{aB^3 + he^3}{12}$	$\frac{aB^3 + he^3}{6B}$	$\frac{aB^3 + he^3 + B(a+h)^3 - (B-e)h^3}{12}$	$\frac{2 J_o}{\sqrt{B^2 + (a+h)^2}}$
	$J_x = \frac{ea^3}{12}$ $J_y = \frac{ea^3}{3}$	$W_x = \frac{ea^2 \sqrt{2}}{6}$ $W_y = \frac{ea^2 \sqrt{2}}{3}$	$\frac{5ea^3}{12}$	$\frac{ea^2 \sqrt{10}}{6}$
	$\frac{BH^3 - bh^3}{12}$	$\frac{BH^3 - bh^3}{6H}$	$\frac{BH^3 - bh^3 + B^2(H-h)^3 - (b+e)h^3}{12}$	$\frac{2 J_o}{\sqrt{H^2 + B^2}}$
1 $d_1 = \frac{eH^2 + ba^2}{2(eH + ba)}$ $d_2 = H - d_1$	2 pour a et e très petits $J_o \approx J_x + \frac{aB^3}{12}$	3 pour a et e très petits $J_x = \frac{aB^3}{12}$	4 pour a et e très petits $W_x = \frac{aB^2}{6}$	5 variable pour 

FLEXION



M_f en A; $-F \cdot L$ en X; $-F \cdot (L-x)$
[daNmm] en B; 0

E: module de rigidité (élasticité)
Longitudinale $\left[\frac{\text{daN}}{\text{mm}^2} \right]$

ρ : rayon de courbure $\frac{1}{\rho} = y'' = -\frac{M}{J \cdot E}$ équation de la déformée

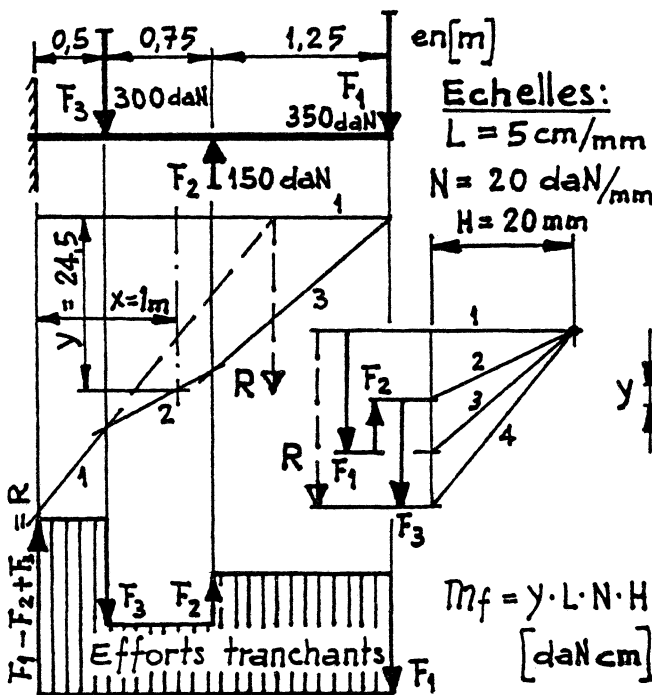
J_x : moment quadratique $[\text{mm}^4]$

σ_{adm} : tension admissible de flexion
 $\left[\frac{\text{daN}}{\text{mm}^2} \right]$

W_x : module de résistance
à la flexion $[\text{mm}^3]$

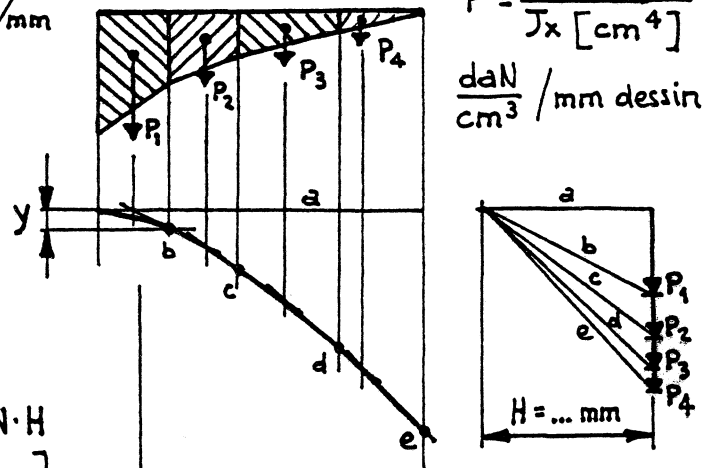
$$W_x = \frac{J_x}{U} \quad \sigma = \frac{M}{W_x} \leq \sigma_{adm}$$

On trouve la flèche de la déformée en partant des surfaces de la courbe des moments sur J_x .



Moment de flexion à $x = 1 \text{ m}$:

$$M_f = 24,5 \cdot 5 \cdot 20 \cdot 20 = 490\,000 \text{ [daNcm]}$$



$$f = \frac{L \cdot N_s \cdot H}{E} \cdot y \text{ [mm]} = \dots \text{ [cm]}$$

Ech: L = ... cm/mm, dessin

$N_s = \dots \text{ daNcm}^{-2} / \text{mm}$, dessin
avec E en daNcm^{-2}

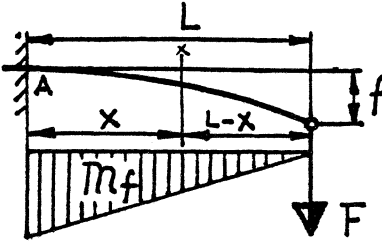
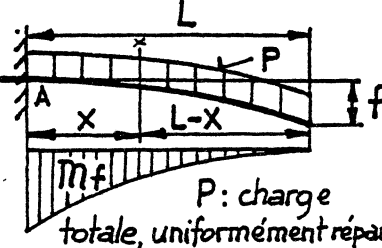
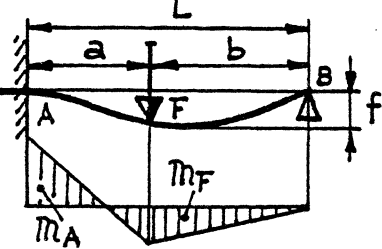
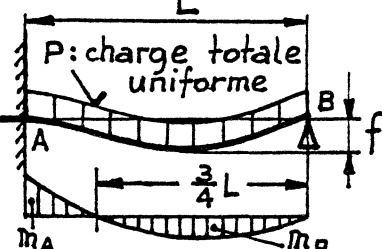
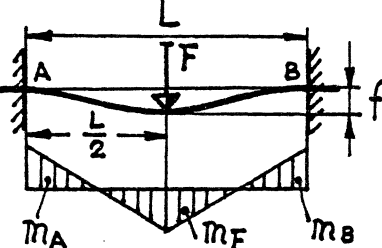
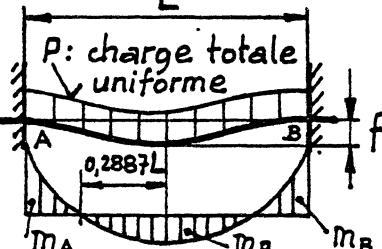
F: Charge qui tend à plier la poutre. [daN] 12

G: fibre neutre située dans l'axe du centre de gravité

L: distance; charge-encastrement

M_f : moment de flexion représentant la somme algébrique de tous les moments statiques des efforts agissant sur la section considérée

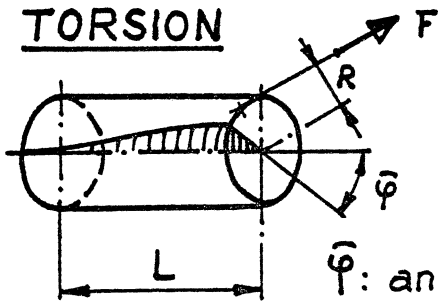
U: distance séparant l'axe, passant par le centre de gravité, de la fibre la plus éloignée.

Mode d'application des charges	M_f [daNmm] Moment de flexion	f [mm] flèche max	Réactions d'appuis
	$M_f = -F \cdot L$ $M_{f_x} = -F \cdot (L-x)$	$f = \frac{F \cdot L^3}{3 E J_x}$	$R_A = F$
 <p>P: charge totale, uniformément répartie</p>	$M_f = -\frac{P \cdot L}{2}$ $M_{f_x} = -\frac{P \cdot (L-x)^2}{2L}$	$f = \frac{P \cdot L^3}{8 E J_x}$	$R_A = P$
	$M_A = -\frac{F \cdot a \cdot b}{2L^2} (2L-a)$ $M_F = \frac{F \cdot a^2 \cdot b}{2L^3} (2L+b)$	$f = \frac{F \cdot a^3 \cdot b^2}{12 E J_x L^3} [3a+4b]$	$R_A = \frac{F \cdot b}{2L^3} (3L^2 - b^2)$ $R_B = \frac{F \cdot a^2}{2L^3} (2L+b)$
 <p>P: charge totale uniforme</p>	$M_A = -\frac{P \cdot L}{8}$ $M_P = \frac{9 P \cdot L}{128}$	$f = \frac{P \cdot L^3}{185 E J_x}$	$R_A = \frac{5}{8} P$ $R_B = \frac{3}{8} P$
	$-M_A = +M_F = -M_B$ $M_F = -\frac{F \cdot L}{8}$	$f = \frac{F \cdot L^3}{192 E J_x}$	$R_A = R_B = \frac{F}{2}$
 <p>P: charge totale uniforme</p>	$M_A = M_B = -\frac{P \cdot L}{12}$ $M_P = \frac{P \cdot L}{24}$	$f = \frac{P \cdot L^3}{384 E J_x}$	$R_A = R_B = \frac{P}{2}$

F: charge [daN] L: longueur totale de la poutre [mm]
 E: module de rigidité [daNmm²] J_x: moment qu. axial [mm⁴]

<p>P: charge totale uniforme</p>	$m_f = \frac{P \cdot L}{8}$	$f = \frac{5 P \cdot L^3}{384 E J_x}$	$R_A = R_B = \frac{P}{2}$
	$m_f = \frac{F a b}{L}$	$f = \frac{F \cdot a^2 b^2}{3 E J_x \cdot L}$	$R_A = \frac{F \cdot b}{L}$ $R_B = \frac{F \cdot a}{L}$
	$m_{f_1} = R_A \cdot a$ $m_{f_2} = R_A \cdot b - F_1(b-a)$ $m_{f_3} = R_A \cdot c - F_1(c-a) - F_2(c-b)$	<p>Figure ci-dessus : Charge centrée</p> $m_f = \frac{F \cdot L}{4}$ $f = \frac{F \cdot L^3}{48 E J_x}$ $R_A = R_B = \frac{F}{2}$	$R_A = \frac{F_1(L-a) + F_2(L-b) + F_3(L-c)}{L}$ $R_B = \frac{F_1 \cdot a + F_2 \cdot b + F_3 \cdot c}{L}$ $R_A + R_B = F_1 + F_2 + F_3$
	$m_f = \frac{F_1 + F_2}{2} \cdot a$	$f = \frac{F_1 + F_2}{48 E J_x} \cdot a (3L^2 - 4a^2)$	$R_A = R_B = \frac{F_1 + F_2}{2}$
	$m_f = -F \cdot a$	$f_1 = \frac{F \cdot a \cdot b^2}{8 E J_x}$ $f_2 = \frac{F \cdot a^2}{3 E J_x} \left(a + \frac{3 \cdot b}{2} \right)$	$R_A = R_B = F$
	$m_f = -F \cdot a$	$f_1 = \frac{F \cdot L_A^2 \cdot a}{E J_x \cdot 9 \sqrt{3}}$ $f_2 = \frac{F \cdot a^2}{3 E J_x} (L_A + a)$	$R_A = -\frac{F \cdot a}{L_A}$ $R_B = \frac{F (a + L_A)}{L_A}$
	$m_{f_A} = \frac{F_1 \cdot b - F_2 \cdot a}{L_A} (L_A - b)$ $m_{f_B} = -F_2 \cdot a$	$f = \text{solution graphique}$	$R_A = \frac{F_1 \cdot b - F_2 \cdot a}{L_A}$ $R_B = \frac{F_1(L_A - b) + F_2(L_A + a)}{L_A}$

TORSION



M_t : moment de torsion [daNmm] 15

$$M_t = F \cdot R = \tau \cdot W_0$$

$$M_t = \frac{\text{watt}}{s^{-1}} = \frac{P}{\omega} = \left[\frac{Nm}{s} \right] \quad \omega = \frac{2\pi \cdot n}{60} \left[\frac{rad}{s} \right]$$

τ : tension de torsion $\left[\frac{daN}{mm^2} \right]$

n : tours/min

ϕ : angle de torsion ; glissement total sous L.

L : longueur de la barre soumise à la torsion. [mm]

G : module de rigidité transversale $\left[\frac{daN}{mm^2} \right]$

J_0 : moment quadratique polaire $[mm^4] = J_x + J_y$

υ : distance séparant le pôle, centre de gravité, de la fibre extérieure [mm]

$$W_0 = \frac{J_0}{\upsilon}, \quad \text{pour le cercle } W_0 = \frac{J_0}{R} \approx 0,2d^3$$

$$\phi_{rad} = \frac{\tau \cdot L}{G \cdot R} = \frac{M_t \cdot L}{J_0 \cdot G}$$

$$\phi^\circ = \phi_{rad} \frac{360^\circ}{2\pi}$$

W_0 : module de résistance à la déformation ; à la torsion $[mm^3]$

$$\tau = \frac{M_t}{W_0}, \text{ tension de torsion}$$

$$\phi_{max}^\circ = \left(\frac{1}{4} \right)^\circ \text{ par mètre}$$

$$\phi_{rad} = 0,0043 \text{ max.}$$

Pour sections rectangulaires introduire les facteurs C_1, C_2

$$\tau = \frac{M_t \cdot C_1}{b^2 \cdot h} \leq \text{tension admissible}$$

$$\phi^\circ = \frac{360^\circ}{2\pi} \cdot C_2 \cdot \frac{M_t \cdot L}{G \cdot b^3 \cdot h}$$

	$\frac{h}{b}$	1	1,25	1,5	1,75	2	2,5	3	4	5	10	∞
	C_1	4,8	4,52	4,33	4,18	4,06	3,88	3,74	3,55	3,43	3,2	3
	C_2	7,11	5,82	5,11	4,67	4,37	4,01	3,8	3,56			

Arbres de transmission

$$M_t [Nm] = 9550 \frac{P_{kw}}{n} \quad 1 Nm = 100 daNmm$$

$$d = 1,7 \sqrt[3]{\frac{M_t [daNmm]}{\tau [hb]}} [mm] \text{ tous matériaux ; résistance à la torsion}$$

$$\dots \text{ pour acier avec } \tau : 2hb \quad d = 130 \sqrt[3]{\frac{P_{kw}}{n}} [mm]$$

arbre résistant à la déformation de moins de $0,25^\circ$ /mètre :

Valable jusqu'au $\phi 130$,

dès 130 ϕ prendre $d = 1,7 \sqrt[3]{\frac{M_t}{\tau}}$

$$d = 13 \sqrt[4]{\frac{M_t}{[Nm]}} = 130 \sqrt[4]{\frac{P_{kw}}{n}} [mm]$$

Arbres soumis à la flexion et torsion combinées

σ : tension de flexion, τ : tension de torsion σ_{eq} : tension équiv.

$$\text{tension équivalente } \sigma_{eq} = \sqrt{\sigma^2 + 3\tau^2} \leq \sigma_{admissible}$$

$$\text{moment équiv. } M_{eq} = \sqrt{M_f^2 + \frac{3}{4} M_t^2} = W_x \cdot \sigma_{admissible}$$

$$\text{d'où la tension équivalente } \sigma_{eq} = \frac{32 \cdot M_i}{\pi \cdot d^3} \leq \sigma_{admissible}$$

et le diamètre de l'arbre est :

$$d = 2,17 \sqrt[3]{\frac{M_{eq}}{\sigma_{fl}}} [mm]$$

avec, M_i [daNmm], σ_{fl} $\left[\frac{daN}{mm^2} \right]$

Arbres creux : formules valables si $\frac{D}{d} \gg 2$

Remarque :

S'il existe encore une tension supplémentaire de traction ou de compression, on l'additionnera algébriquement avec la tension normale de flexion.

Matière	Charge de rupture $\frac{daN}{mm^2}$	Limite élast. $\frac{daN}{mm^2}$	Module élastique $\frac{daN}{cm^2}$		Module $\frac{daN}{cm^2}$		Charge admissible $\frac{daN}{cm^2}$		Charge admissible en $\frac{daN}{cm^2}$											
			Module élastique $\frac{daN}{cm^2}$	Module $\frac{daN}{cm^2}$	traction ϵ		Flexion ϵ flexion			Cisaillement τ			Torsion τ			Compression ϵ				
					I	II	I	II	III	I	II	III	I	II	III	I	II	III	I	II
Ac 34.11	34-42	19-26	←	←	1100-1300	960-1200	750-950	1100-1300	960-1200	750-950	1000	1000	600	650	450	460	1200	1100		
Ac 37.11	37-45	24	←	←	1200-1400	1000-1300	800-1000	1200-1400	1000-1300	800-1000	1040	1040	800	700	500	400	1300	1150		
Ac 42.11	42-60	23	←	←	1250-1450	1100-1400	900-1100	1350-1450	1100-1400	900-1100	1200	1200	900	730	600	500	1350	1250		
Ac 50.11	50-60	27	←	←	1550-1800	1200-1600	950-1200	1550-1800	1200-1600	950-1200	1440	1120	800	1000	800	600	1650	1400		
Ac 60.11	60-70	30	←	←	1800-2100	1350-1850	1050-1400	1800-2100	1350-1850	1050-1400	1600	1300	900	1300	1000	700	1950	1600		
Ac 70.11	70-85	35	←	←	2100-2450	1500-2200	1100-1700	2100-2450	1500-2200	1100-1700	2060	1600	1040	1800	1400	800	2250	1850		
AcC 10.61	38	21	←	←	1200	1000	800	1200	1000	800	1040	800	640	700	500	400	1200	1000		
AcC 16.61	42	23	←	←	1250	1100	900	1250	1100	900	1200	900	700	730	600	500	1250	1100		
AcC 25.61	32-50 24 47-55	24 28	←	←																
AcC 35.61	50-60 24 55-65	28 33	←	←																
AcC 45.61	60-70 24 65-75	34 39	←	←	1700-2000	1300-1750	1000-1350	1700-2000	1300-1750	1000-1350	1500	1200	850	1200	950	700	1850	1625		
AcC 60.61	70-85 24 75-90	40 45	←	←	1850-2150	1500-2000	1100-1500	1850-2150	1500-2000	1100-1500	1700	1450	980	1500	1200	770	2000	1750		
AcC 60.61	70-85 24 75-90	40 45	←	←	2100-2350	1600-2100	1200-1600	2100-2350	1600-2100	1200-1600	2060	1650	1100	1850	1450	850	2200	1850		
AcC 60.61	70-85 24 75-90	40 45	←	←	2250-2600	1650-2300	1250-1750	2250-2600	1650-2300	1250-1750	2200	1750	1200	2050	1600	1050	2400	1950		
1N1 15 (EN 15)	20 max.55 22 60-80	65	←	←																
1N125 Cr8 (ECN 25)	20 max.70 22 80-100	70	←	←																
1N135 Cr8 (ECN35)	20 max.75 22 90-120	75	←	←																
1N145 Cr11 (ECN45)	20 max.83 22 120-140	75	←	←																
3N115 Cr8 (VCN15)	20 max.70 24 65-75	70	←	←	1900	1570	1220	1900	1570	1120	1600	1300	900	1300	1000	700	1900	1570		
2N135 Cr8 (VCN35)	20 max.80 24 75-90	75	←	←	2100-2400	1700-2300	1300-1750	2100-2400	1700-2300	1300-1750	2000	1600	1050	1800	1400	800	2250	2050		
4N145 Cr18 (VCN45)	20 max.90 24 100-115	80	←	←	2270	1850	1400	2270	1850	1400	2060	1600	1040	1800	1400	800	2270	1850		
Acclé40.97	40-50	20	←	←	2800-3300	2000-2600	1500-2000	3050	2300	1750							3050	2300		
Acclé45.97	45-55	23	←	←	2700-3000	1900-2700	1500-2100	2850	2250	1800							2850	2300		
Acclé50.97	50-60	25	←	←	3200-4000	2300-3500	1750-2700	3600	2900	2200							3600	2900		
Acclé55.97	55-65	28	←	←	1100	600-850	500-700	1100	600-850	500-700	1040	800	560	1040	800	560	1600	1200		
Acclé60.97	60-70	30	←	←	1300	700-1000	550-800	1300	700-1000	550-800	1200	960	740	1200	960	740	1800	1500		
Ft 15.91	15		←	←													900	600		
Ft 20.91	20		←	←																
Ft 25.91	25		←	←																
Ft 30.91	30		←	←													1100	900		

ATTENTION AUX UNITÉS
diviser ces valeurs par 100 = $\frac{daN}{mm^2}$

Limite élastique en % de la résistance à la rupture

Module élastique $\frac{daN}{cm^2}$

Module $\frac{daN}{cm^2}$

Charge admissible $\frac{daN}{cm^2}$

Charge admissible en $\frac{daN}{cm^2}$

Flexion ϵ flexion

Cisaillement τ

Torsion τ

Compression ϵ

Charge de rupture $\frac{daN}{mm^2}$

Limite élast. $\frac{daN}{mm^2}$

Module élastique $\frac{daN}{cm^2}$

Module $\frac{daN}{cm^2}$

Charge admissible $\frac{daN}{cm^2}$

Charge admissible en $\frac{daN}{cm^2}$

Flexion ϵ flexion

Cisaillement τ

Torsion τ

Compression ϵ

Charge de rupture $\frac{daN}{mm^2}$

Limite élast. $\frac{daN}{mm^2}$

Module élastique $\frac{daN}{cm^2}$

Module $\frac{daN}{cm^2}$

Charge admissible $\frac{daN}{cm^2}$

Charge admissible en $\frac{daN}{cm^2}$

Flexion ϵ flexion

Cisaillement τ

Torsion τ

Compression ϵ

Charge de rupture $\frac{daN}{mm^2}$

Limite élast. $\frac{daN}{mm^2}$

Module élastique $\frac{daN}{cm^2}$

Module $\frac{daN}{cm^2}$

Charge admissible $\frac{daN}{cm^2}$

Charge admissible en $\frac{daN}{cm^2}$

Flexion ϵ flexion

Cisaillement τ

Torsion τ

Compression ϵ

Charge de rupture $\frac{daN}{mm^2}$

Limite élast. $\frac{daN}{mm^2}$

Module élastique $\frac{daN}{cm^2}$

Module $\frac{daN}{cm^2}$

Charge admissible $\frac{daN}{cm^2}$

Charge admissible en $\frac{daN}{cm^2}$

Flexion ϵ flexion

Cisaillement τ

Torsion τ

Compression ϵ

Charge de rupture $\frac{daN}{mm^2}$

Limite élast. $\frac{daN}{mm^2}$

Module élastique $\frac{daN}{cm^2}$

Module $\frac{daN}{cm^2}$

Charge admissible $\frac{daN}{cm^2}$

Charge admissible en $\frac{daN}{cm^2}$

Flexion ϵ flexion

Cisaillement τ

Torsion τ

Compression ϵ

Charge de rupture $\frac{daN}{mm^2}$

Limite élast. $\frac{daN}{mm^2}$

Module élastique $\frac{daN}{cm^2}$

Module $\frac{daN}{cm^2}$

Charge admissible $\frac{daN}{cm^2}$

Charge admissible en $\frac{daN}{cm^2}$

Flexion ϵ flexion

Cisaillement τ

Torsion τ

Compression ϵ

Charge de rupture $\frac{daN}{mm^2}$

Limite élast. $\frac{daN}{mm^2}$

Module élastique $\frac{daN}{cm^2}$

Module $\frac{daN}{cm^2}$

Charge admissible $\frac{daN}{cm^2}$

Charge admissible en $\frac{daN}{cm^2}$

Flexion ϵ flexion

Cisaillement τ

Torsion τ

Compression ϵ

Charge de rupture $\frac{daN}{mm^2}$

Limite élast. $\frac{daN}{mm^2}$

Module élastique $\frac{daN}{cm^2}$

Module $\frac{daN}{cm^2}$

Charge admissible $\frac{daN}{cm^2}$

Charge admissible en $\frac{daN}{cm^2}$

Flexion ϵ flexion

- 1 Diagramme de traction des métaux
- 2 Module de rigidité (élasticité) Longitudinale E
- 3 Module de rigidité transversale G
- 4 Traction - compression
- 5 Cisaillement, Flambage
- 6 Centre de gravité G
- 7 Moments quadratiques J
- 9 Module de résistance à la flexion W , à la torsion W_t
- 12 Flexion
- 13 Moments de flexion, flèches, réactions d'appuis
- 15 Torsion
- 16 Caractéristiques de quelques matériaux